

# Conjuntos de Seqüências para Sistemas QS-CDMA com Detecção Multiusuário Sujeitos a Desvanecimento Multipercorso

André S. R. Kuramoto, Taufik Abrão e Paul Jean E. Jeszensky

**Resumo**—Neste trabalho são comparados os conjuntos de seqüências de espalhamento Walsh-Hadamard, seqüências QS, PN Ótima, LCZ-GMW e ZCZ. A comparação é realizada analizando-se o desempenho do receptor convencional (Rake) e multiusuário do tipo cancelador de interferência paralelo utilizando cada um dos conjuntos de seqüências sujeitos a canal Rayleigh multipercorso, carregamentos similares e condição de quase sincronismo.

**Palavras-Chave**—DS/CDMA, quase-síncrono, seqüência de espalhamento, cancelador de interferência paralelo.

**Abstract**—In this work Walsh-Hadamard, QS-sequence, Optimum PN, LCZ-GMW, ZCZ, PS and SP sequence sets are compared. The comparison is accomplished analyzing the conventional receiver (Rake) and a parallel interference canceller receiver performance using each one of these sequence sets in a multipath Rayleigh fading channel and similar system loads in quasi-synchronous condition.

**Keywords**—DS/CDMA, quasi-synchronous, spreading sequence, parallel interference cancelator.

## I. INTRODUÇÃO

A limitação de desempenho nos sistemas CDMA é resultado principalmente da interferência de múltiplo acesso (MAI), devido ao fato de múltiplos usuários estarem dividindo a mesma faixa de freqüência. Esta interferência é resultado dos atrasos aleatórios  $\tau$  entre os sinais dos usuários ativos, tornando impossível a manutenção da ortogonalidade entre todas as formas de onda de códigos de espalhamento. A MAI pode ser controlada através da escolha adequada de seqüências de espalhamento e através do controle de potência de todos os sinais recebidos dos usuários ativos no sistema.

Em canais com desvanecimento multipercorso, a interferência presente à saída de um correlacionador do detector Rake é composta pela MAI e pela auto-interferência (SI). A SI, por sua vez, é composta de auto-interferência intersimbólica (SII), provocada por componentes multipercorso correspondentes ao símbolo anterior, e auto-interferência de um mesmo símbolo (SCI), provocada por componentes correspondentes ao símbolo corrente. Um detector multiusuário (MuD), utiliza informações dos demais usuários ativos além de outras estimativas para cancelar a MAI e a SII presentes no sinal recebido. A SCI pode ser utilizada beneficiamente

Taufik Abrão, Departamento de Engenharia Elétrica, Universidade Estadual de Londrina, Londrina, Brasil, E-mail: taufik@uel.br.

André S. R. Kuramoto e Paul Jean E. Jeszensky, Departamento de Engenharia Elétrica, Escola Politécnica da Universidade de São Paulo, São Paulo, Brasil, E-mails: kuramoto@lcs.poli.usp.br, pjj@lcs.poli.usp.br.

na etapa de combinação e decisão do símbolo. Dessa forma, há um aumento na capacidade dos sistemas de comunicação comparado à detecção convencional; porém com aumento na complexidade de implementação. O MuD do tipo cancelador de interferência paralelo (PIC) [1] [2] [3] estima e subtrai a interferência paralela e simultaneamente para todos os usuários. O PIC com decisão abrupta (PIC-HD) emprega a função  $sign(\cdot)$  na decisão do bit estimado em todos os estágios canceladores intermediários.

Devido à impossibilidade do sistema Quase-Síncrono DS/CDMA (QS-CDMA) sincronizar perfeitamente os sinais recebidos de todos os usuários ativos, os atrasos entre estes sinais estarão distribuídos, de forma independente e uniforme, sobre o intervalo  $[0, \tau_{\max}]$ , onde  $\tau_{\max}$  representa o erro máximo de sincronismo inerente ao sistema. Desta forma, no QS-CDMA todas as seqüências de espalhamento estarão quase sincronizadas e portanto a MAI pode ser reduzida escolhendo-se conjuntos de seqüências com boas propriedades de correlação.

Na maioria dos trabalhos publicados tem-se investigado apenas as propriedades de correlação cruzada par das seqüências (ECC). Entretanto, para uma análise completa de desempenho dos sistemas DS/CDMA, deve-se considerar também as propriedades de correlação cruzada ímpar das seqüências (OCC), [4] e [5]. A função de OCC afeta a saída do filtro casado quando o símbolo de informação do usuário interferente muda dentro do intervalo de integração, enquanto a função ECC afeta a saída quando o símbolo de informação não muda. Admitindo-se razoável a hipótese de que os símbolos de informação sejam equiprováveis, a influência da OCC é tão importante quanto a da ECC no desempenho do sistema.

Neste trabalho, foram comparados os desempenhos de sistemas QS-CDMA com detecção convencional e MuD PIC-HD em canal Rayleigh multipercorso utilizando conjuntos de seqüências de espalhamento Walsh-Hadamard, seqüências QS [6] [7], PN Ótima [8], LCZ-GMW [9] [10] e ZCZ [11] [12] com carregamentos semelhantes.

Inicialmente, a seção II trata das definições utilizadas nas seções seguintes. Na seção III são descritas as principais propriedades dos conjuntos de seqüências acima mencionados. O modelo do sistema adotado para a avaliação do desempenho considerando cada um dos conjuntos de seqüências de espalhamento é descrito em IV. A seção V descreve os parâmetros utilizados, bem como os resultados de desempenho obtidos via simulação Monte Carlo. Finalmente, as principais conclusões deste estudo são sintetizadas na seção VI.

## II. DEFINIÇÕES

As seqüências  $c_i$ , são definidas como:  $c_i = \{c_{i,0} c_{i,2} \dots c_{i,N-1}\}$ , onde  $i$  representa a  $i$ -ésima seqüência do conjunto;  $N$  o comprimento da seqüência de espalhamento; e  $c_{i,j}$  é o chip  $j$  da  $i$ -ésima seqüência.

O carregamento do sistema  $Load = \frac{U}{N}$  relaciona o número de usuários ativos  $U$  no sistema com o comprimento das seqüências  $N$  utilizadas.

A função de correlação cruzada par (ECC) é definida por:

$$R_{i,j}(\tau) = \begin{cases} C_{i,j}(\tau) + C_{j,i}(N-\tau), & 0 \leq \tau < N \\ C_{i,j}(\tau) + C_{j,i}(-N-\tau), & -N < \tau < 0 \end{cases} \quad (1)$$

e a função de correlação cruzada ímpar (OCC) por:

$$\tilde{R}_{i,j}(\tau) = \begin{cases} C_{i,j}(\tau) - C_{j,i}(N-\tau), & 0 \leq \tau < N \\ C_{i,j}(\tau) - C_{j,i}(-N-\tau), & -N < \tau < 0 \end{cases} \quad (2)$$

onde  $C_{i,j}(\tau)$  é a função de correlação aperiódica, dada por:

$$C_{i,j}(\tau) = \begin{cases} \sum_{l=1}^{N-\tau} c_{i,l} c_{j,l+\tau}, & 0 \leq \tau < N \\ \sum_{l=1}^{N+\tau} c_{i,l-\tau} c_{j,l}, & -N < \tau < 0 \end{cases} \quad (3)$$

onde  $i \neq j$ ;  $\tau$  representa o atraso entre as seqüências de espalhamento, expresso em unidades de tempo de chip  $T_c$ . Em (1) e (2), quando  $i = j$ , define-se a função de autocorrelação par e ímpar (EAC and OAC), respectivamente.

## III. CONJUNTOS DE SEQÜÊNCIAS DE ESPALHAMENTO

### A. Seqüências de Walsh-Hadamard

O carregamento máximo do sistema utilizando o conjunto Walsh-Hadamard (WH) é  $Load_{\max} = 1$ , pois as seqüências são obtidas das linhas da matriz quadrada de Hadamard  $H_n$ .

A função ECC para este conjunto assume valor zero quando  $\tau = 0$ , pois quaisquer duas linhas ou colunas de  $H_n$  são ortogonais. Isso implica que, em um sistema CDMA síncrono (S-CDMA) em canal AWGN utilizando o conjunto WH a interferência interusuários é virtualmente zero. No entanto, quando  $\tau \neq 0$ , as funções ECC e OCC podem assumir valores diferentes de zero e elevados, implicando na elevada interferência interusuários em um sistema CDMA assíncrono (A-CDMA).

A função EAC do WH apresenta picos quando  $\tau \neq 0$ . Se neste caso, o sistema permitir um erro de sincronismo máximo  $\tau_{\max} \geq 1T_c$ , ocorrerão problemas na etapa de sincronismo, inviabilizando a recuperação da informação.

### B. Seqüências QS

Os conjuntos de seqüências QS [6] [7] são compostos de seqüências de Gold, com fases adequadamente escolhidas resultante em ECC mínima para pequenos  $\tau$ . Em [6] foi mostrado que a distribuição da OCC para seqüências de Gold é semelhante a uma distribuição Gaussiana, cuja a variância torna-se mínima, quando o valor da ECC também for mínimo ( $-1$ ). Portanto, para o conjunto de seqüências de Gold na condição de quase-sincronismo (QS), é razoável ajustar suas fases de acordo com a ECC. Em [7], definiu-se a característica de quase-ortogonalidade em uma faixa  $\tau$  (QOQS( $r$ )) para as seqüências QS, resultando em  $R_{i,j}(\tau) = -1$ , para  $\tau =$

$0, \pm 1, \dots, \pm \frac{r-1}{2}$ . O número de seqüências em um conjunto com propriedades QOQS( $r$ ) varia com o comprimento  $N$  das seqüências [7].

Como o conjunto de seqüências QS é composto por seqüências de Gold, os valores de ECC possíveis para um conjunto QS de comprimento  $N = 2^n - 1$  com  $n$  ímpar são:  $-1$  e  $\pm 2^{\frac{n+1}{2}} - 1$ ; com  $n$  par ( $\neq 0 \bmod 4$ ) são:  $-1$  e  $\pm 2^{\frac{n+2}{2}} - 1$ .

Conjuntos de seqüências QS de mesmo  $N$ ,  $r$  e tamanho podem ter propriedades de OCC diferentes. Por exemplo, para  $N = 31$  e  $r = 5$  existem 2 conjuntos com 4 seqüências cada, extraídas do conjunto Gold Gold(45, 73)<sup>1</sup>. Verifica-se a maior ocorrência de valores de OCC de maior magnitude em um dos conjuntos para  $0 \leq \tau \leq 1$  e também para  $0 \leq \tau \leq 2$ . Portanto, neste caso, a escolha do conjunto de seqüências QS com menor ocorrência de picos de OCC resultará em melhor desempenho, considerando um sistema QS-CDMA com  $\tau_{\max} \leq 2T_c$  [13].

### C. Seqüências PN Ótima

O conjunto de seqüências PN Ótima, proposto por [8], possui propriedades de "balanço" e correlação cruzada similares às seqüências de uma subclasse das seqüências GMW [14] [15]. Pode-se considerar que as seqüências PN Ótima são uma generalização das seqüências GMW.

Dado um polinômio primitivo de grau  $n$  e  $K = \binom{2^m-1}{2(m-1)}$  seqüências sementes balanceadas de comprimento  $2^m - 1$ , com  $m$  fator de  $n$ , obtém-se uma família de  $K$  seqüências PN Ótima balanceadas distintas e de comprimento  $N = 2^n - 1$ . Esta família é maior que a subclasse de seqüências GMW de propriedades de correlação cruzada similares com  $\frac{\phi(2^m-1)}{2^m-1}$  seqüências distintas, onde  $\phi(x)$  denota a função de Euler

Para  $0 < |\tau| < \frac{2^n-1}{2^m-1}$  ou  $|\tau| \neq (0 \bmod \frac{2^n-1}{2^m-1})$ , todos os valores de ECC para um conjunto de seqüências PN Ótima de uma mesma família são mínimos e iguais a  $-1$ . Porém, dentro da mesma faixa  $\tau$  os valores de OCC não são mínimos.

Existe um compromisso entre a faixa de atrasos  $\tau$  em que a função de ECC assume valor  $-1$  e o tamanho do conjunto de seqüências distintas na família [8]. Portanto, para obtermos um carregamento máximo com o conjunto PN Ótima adota-se  $n = 2m$ , reduzindo, em consequência, a faixa de atrasos onde a função de ECC assume valor  $-1$ .

A função ECC assume um valor elevado quando  $\tau = 0$ . Isso implica em alta interferência interusuário quando existirem sinais de usuários sincronizados ou quase sincronizados com  $\tau$  confinados em pequenas frações de chip. Fora da condição QS, quando  $|\tau| \geq \frac{2^n-1}{2^m-1}$ , a função ECC para um conjunto PN Ótima pode também assumir valores elevados.

Na condição de  $\tau \neq 0$ , o valor da função EAC para seqüências PN Ótima geradas a partir de seqüências do tipo SMC (seqüências de máximo comprimento) reduz-se a  $-1$ , pois neste caso a seqüência gerada é uma seqüência GMW [8] [14] [15]. Quando as seqüências sementes não são SMC a função de autocorrelação da PN Ótima apresenta outros picos de menores magnitudes.

<sup>1</sup>conjunto construído a partir dos polinômios primitivos  $5x^5 + x^2 + 1$  e  $x^5 + x^4 + x^3 + x + 1$ , ou seja, 45 e 73 em octal, respectivamente.

#### D. Seqüências LCZ baseadas nas GMW

A função de correlação cruzada par para as seqüências de um conjunto LCZ (*Low Correlation Zone*) baseadas nas seqüências GMW (LCZ-GMW) [9] [10] assume valor mínimo para a faixa de atrasos  $|\tau| < L_{CZ}$ . Em [10] foi definido o conceito de LCZ.

*Definição 1:* Sejam  $\mathbf{a}_1$  e  $\mathbf{a}_2$  seqüências sobre  $GF(p)$  de comprimento  $N$  pertencentes ao conjunto  $A$ , onde  $\mathbf{a}_1 = \{a_{1,0} \ a_{1,1} \ \dots \ a_{1,N-1}\}$ ,  $\mathbf{a}_2 = \{a_{2,0} \ a_{2,2} \ \dots \ a_{2,N-1}\}$  e  $\mathcal{C}$  uma constante, então a zona de baixa correlação (LCZ) é definida como  $L_{CZ} = \max\{\mathcal{Z} | |R_{1,2}(\tau)| \leq \mathcal{C}$  onde  $(|\tau| < \mathcal{Z} \text{ e } \mathbf{a}_1 \neq \mathbf{a}_2)$  ou  $(0 < |\tau| < \mathcal{Z} \text{ e } \mathbf{a}_1 = \mathbf{a}_2)\}$  com  $\mathbf{a}_{\hat{1}} = \exp(j\frac{2\pi}{p}\mathbf{a}_1)$  e  $\mathbf{a}_{\hat{2}} = \exp(j\frac{2\pi}{p}\mathbf{a}_2)$ .

A função EAC e ECC assumem valor  $-1$  para  $0 < |\tau| < T$  e  $|\tau| < T$ , respectivamente, onde  $T = \frac{p^n - 1}{p^m - 1}$ ,  $m$  e  $n$  são inteiros os quais representam o grau dos polinômios primitivos utilizados na construção das seqüências GMW que originam o conjunto LCZ. O comprimento das seqüências LCZ-GMW é dado por  $N = p^n - 1$ . Neste trabalho considerou-se apenas o caso de  $p = 2$  (seqüências binárias) e  $\mathcal{C} = -1$ , resultando em  $N = 2^n - 1$  e  $L_{CZ} = T = \frac{2^n - 1}{2^m - 1}$ .

De acordo com [16], para um conjunto LCZ-GMW composto de seqüências de comprimento  $N$  existe um compromisso entre o tamanho  $K$  do conjunto e o valor de  $L_{CZ}$ :  $\frac{KL_{CZ}}{N+1} \leq 1$ . Quanto maior o valor de  $L_{CZ}$  menor é o valor de  $K$ . Assim, o carregamento máximo para um conjunto de seqüências LCZ de comprimento  $N$  é obtido quando  $n = 2m$ , condição em que  $L_{CZ}$  é mínimo.

#### E. Seqüências ZCZ

A função de correlação cruzada par para as seqüências de um conjunto ZCZ (*Zero Correlation Zone*) assume valor zero para a faixa de atrasos  $|\tau| < Z_{CZ}$ . Define-se o conceito de ZCZ como [11] [12]:

*Definição 2:* Sejam  $\mathbf{a}_1$  e  $\mathbf{a}_2$  seqüências binárias de comprimento  $N$  pertencentes ao conjunto  $A$ , onde  $\mathbf{a}_1 = \{a_{1,0} \ a_{1,1} \ \dots \ a_{1,N-1}\}$ ,  $\mathbf{a}_2 = \{a_{2,0} \ a_{2,2} \ \dots \ a_{2,N-1}\}$ , então a zona de correlação nula (ZCZ)  $Z_{CZ}$  é definida como  $Z_{CZ} = \max\{\mathcal{Z} | |R_{1,2}(\tau)| = 0$ , onde  $(|\tau| < \mathcal{Z} \text{ e } \mathbf{a}_1 \neq \mathbf{a}_2)$  ou  $(0 < |\tau| < \mathcal{Z} \text{ e } \mathbf{a}_1 = \mathbf{a}_2)\}$

Neste trabalho considerou-se o método de construção III propostos em [11]. Dado  $m$ ,  $n$ , e  $t$ , obtém-se um conjunto ZCZ composto de  $K = 2^{n+1}$  seqüências de comprimento  $N = 2^{2n+m-t+1}$  e  $Z_{CZ} = \frac{2^{n+m-t}}{2} + 1$ . Dessa forma, sistemas que utilizem este conjunto ZCZ terão carregamento dado por  $Load = \frac{2^{n+1}}{2^{2n+m-t+1}} = \frac{1}{2^{n+m-t}}$ .

Existe um compromisso entre a faixa em que as funções EAC e ECC são ideais ( $|\tau| < Z_{CZ}$ ) e o número de seqüências  $K$  de comprimento  $N$  disponíveis no conjunto, sendo que a relação  $KZ_{CZ} \leq N$  é verificada [16].

#### IV. MODELO DO SISTEMA

O sinal transmitido para o  $k$ -ésimo usuário é dado por:

$$s_k(t) = \sqrt{2P_k} \sum_i b_k^{(i)} a_k(t) \cos(\omega_c t) \quad (4)$$

onde  $P_k$  representa a potência do sinal transmitido do  $k$ -ésimo usuário;  $b_k^{(i)}$  o  $i$ -ésimo símbolo de informação com período  $T_b$ ;  $\omega_c$  a freqüência da portadora;  $a_k(t)$  corresponde à seqüência de espalhamento definida no intervalo  $[0, T_b]$  e zero fora:  $a_k(t) = \sum_{i=0}^{N-1} c_{k,i} p_{T_c}(t - iT_c)$ , onde  $c_{k,i} \in \{1, -1\}$  representa os chips da seqüência empregados nos intervalos definidos por  $i$ ;  $p_{T_c}(\cdot)$  é a formatação de pulso retangular de amplitude unitária definida no intervalo  $[0, T_c]$  e zero fora. O ganho de processamento,  $G = \frac{T_b}{T_c}$ , será igual a  $N$ .

A resposta impulsiva do canal em banda base complexa é dada por  $h_k(t) = \sum_{\ell=1}^L \alpha_{\ell,k} e^{j\phi_{\ell,k}} \delta(t - \tau_{\ell,k})$ , onde  $L$  é o número de caminhos resolvíveis;  $\alpha_{\ell,k}$ ,  $\tau_{\ell,k}$  e  $\phi_{\ell,k}$  representam o coeficiente do canal, o atraso e a fase, respectivamente, para o  $\ell$ -ésimo componente multipercorso do  $k$ -ésimo usuário;  $\tau_{\ell,k}$  é distribuído uniformemente no intervalo  $[\Delta_\ell; \Delta_\ell + \tau_{\max}]$ , onde  $\Delta_\ell$  é o atraso do  $\ell$ -ésimo componente multipercorso, dado um perfil atraso-potência específico. Considerando que o desvanecimento de pequena escala segue uma distribuição Rayleigh, a função densidade de probabilidade (*Probability Density Function*, PDF) para a amplitude dos coeficientes de canal,  $\alpha_{\ell,k}$ , é dada por  $f(\alpha) = \frac{2\alpha}{\rho} e^{-\frac{\alpha^2}{\rho}}$ , onde  $\alpha$  é o módulo do coeficiente de canal e  $\rho$  é a potência média do componente multipercorso  $\rho = E[\alpha^2]$ .

O sinal em banda passante que chega ao receptor pode ser escrito como:

$$r(t) = \sum_{k=1}^U \sum_{\ell=1}^L \left[ \sqrt{2P_k} \alpha_{\ell,k} (t - \tau_{\ell,k}) b_k(t - \tau_{\ell,k}) a_k(t - \tau_{\ell,k}) \cos(\omega_c t + \varphi_{\ell,k}) \right] + n(t) \quad (5)$$

onde  $n(t)$  é o ruído branco aditivo Gaussiano (*Additive Gaussian Noise Channel*, AWGN) com densidade espectral bilateral  $\frac{N_0}{2}$  e  $\varphi_{\ell,k} = \phi_{\ell,k} - \omega_c \tau_{\ell,k}$ .

Considerando recepção coerente, a saída do  $\ell$ -ésimo filtro casado ao respectivo componente multipercorso (*finger*) do  $k$ -ésimo usuário referente ao  $i$ -ésimo bit recebido será composta pelos termos [3]:

$$\hat{s}_{\ell,k}^{(i)}(0) = \sqrt{\frac{P_k}{2}} T_b \alpha_{\ell,k}^{(i)} b_k^{(i)} + SI_{\ell,k}^{(i)} + I_{\ell,k}^{(i)} + n_{\ell,k}^{(i)} \quad (6)$$

onde o primeiro termo representa o sinal de interesse, o segundo e o terceiro,  $SI_{\ell,k}^{(i)}$  e  $I_{\ell,k}^{(i)}$ , a auto-interferência e a MAI sobre o  $\ell$ -ésimo componente multipercorso do  $k$ -ésimo usuário e o último,  $n_{\ell,k}^{(i)}$ , o ruído AWGN filtrado.

O termo auto-interferência [3],  $SI_{\ell,k}^{(i)}$ , pode ser escrito como:

$$SI_{\ell,k}^{(i)} = \begin{cases} \sqrt{\frac{P_k}{2}} \sum_{\mathcal{L} \neq \ell}^L \left[ b_k^{(i-1)} \mathcal{R}_{k,k}(\tau_{\mathcal{L},k} - \tau_{\ell,k}, -1) \right. \\ \left. \alpha_{\mathcal{L},k}^{(i-1)} e^{j\varphi_{\mathcal{L},k}^{(i-1)}} + b_k^{(i)} \mathcal{R}_{k,k}(\tau_{\mathcal{L},k} - \tau_{\ell,k}, 0) \right. \\ \left. \alpha_{\mathcal{L},k}^{(i)} e^{j\varphi_{\mathcal{L},k}^{(i)}} \right] e^{-j\varphi_{\ell,k}^{(i)}}, & \tau_{\mathcal{L},k} \geq \tau_{\ell,k}; \\ \sqrt{\frac{P_k}{2}} \sum_{\mathcal{L} \neq \ell}^L \left[ b_k^{(i)} \mathcal{R}_{k,k}(\tau_{\ell,k} - \tau_{\mathcal{L},k}, 0) \right. \\ \left. \alpha_{\mathcal{L},k}^{(i)} e^{j\varphi_{\mathcal{L},k}^{(i)}} + b_k^{(i+1)} \mathcal{R}_{k,k}(\tau_{\ell,k} - \tau_{\mathcal{L},k}, -1) \right. \\ \left. \alpha_{\mathcal{L},k}^{(i+1)} e^{j\varphi_{\mathcal{L},k}^{(i+1)}} \right] e^{-j\varphi_{\ell,k}^{(i)}}, & \tau_{\mathcal{L},k} < \tau_{\ell,k}. \end{cases} \quad (7)$$

onde  $\mathcal{R}_{u,k}(\tau, i) = \int_0^{T_b} a_u(t)a_k(t + iT_b + \tau)dt$  é a correlação cruzada parcial normalizada.

A MAI,  $I_{\ell,k}^{(i)}$ , pode ser escrita como:

$$I_{\ell,k}^{(i)} = \begin{cases} \sum_{u,u \neq k}^U \sum_{\mathcal{L}=1}^L \left\{ \sqrt{\frac{P_u}{2}} \left[ \alpha_{\mathcal{L},u}^{(i-1)} e^{j\varphi_{\mathcal{L},u}^{(i-1)}} b_u^{(i-1)} \right. \right. \\ \left. \left. \mathcal{R}_{u,k}(\tau_{\mathcal{L},u} - \tau_{\ell,k}, -1) + \alpha_{\mathcal{L},u}^{(i)} e^{j\varphi_{\mathcal{L},u}^{(i)}} b_u^{(i)} \right. \right. \\ \left. \left. \mathcal{R}_{u,k}(\tau_{\mathcal{L},u} - \tau_{\ell,k}, 0) \right] e^{-j\varphi_{\ell,k}^{(i)}} \right\}, \quad \tau_{\mathcal{L},u} \geq \tau_{\ell,k}; \\ \sum_{u,u \neq k}^U \sum_{\mathcal{L}=1}^L \left\{ \sqrt{\frac{P_u}{2}} \left[ \alpha_{\mathcal{L},u}^{(i)} e^{j\varphi_{\mathcal{L},u}^{(i)}} b_u^{(i)} \right. \right. \\ \left. \left. \mathcal{R}_{k,u}(\tau_{\ell,k} - \tau_{\mathcal{L},u}, 0) + \alpha_{\mathcal{L},u}^{(i+1)} e^{j\varphi_{\mathcal{L},u}^{(i+1)}} b_u^{(i+1)} \right. \right. \\ \left. \left. \mathcal{R}_{k,u}(\tau_{\ell,k} - \tau_{\mathcal{L},u}, -1) \right] e^{-j\varphi_{\ell,k}^{(i)}} \right\}, \quad \tau_{\mathcal{L},u} < \tau_{\ell,k}. \end{cases} \quad (8)$$

O PIC-HD multiestágio analisado aqui remove a interferência a partir das estimativas da auto-interferência intersimbólica (SII) e da MAI em  $S$  estágios [3]. No primeiro estágio,  $s = 1$ , as estimativas são obtidas das saídas dos correlacionadores, estágio  $s = 0$ . A estimativa para a SII [3], obtida no  $s$ -ésimo estágio de cancelamento, pode ser escrita como:

$$\widehat{SII}_{\ell,k}^{(i)} = \sqrt{\frac{\hat{P}_k}{2}} \begin{cases} \sum_{\mathcal{L} \neq \ell}^D \left[ \hat{b}_k^{(i-1)} \widehat{\mathcal{R}}_{k,k}(\hat{\tau}_{\mathcal{L},k} - \hat{\tau}_{\ell,k}, -1) \right. \\ \left. \hat{\alpha}_{\mathcal{L},k}^{(i-1)} e^{j\hat{\varphi}_{\mathcal{L},k}^{(i-1)}} \right] e^{-j\hat{\varphi}_{\ell,k}^{(i)}}, \quad \hat{\tau}_{\mathcal{L},k} \geq \hat{\tau}_{\ell,k}; \\ \sum_{\mathcal{L} \neq \ell}^D \left[ \hat{b}_k^{(i+1)} \widehat{\mathcal{R}}_{k,k}(\hat{\tau}_{\ell,k} - \hat{\tau}_{\mathcal{L},k}, -1) \right. \\ \left. \hat{\alpha}_{\mathcal{L},k}^{(i+1)} e^{j\hat{\varphi}_{\mathcal{L},k}^{(i+1)}} \right] e^{-j\hat{\varphi}_{\ell,k}^{(i)}}, \quad \hat{\tau}_{\mathcal{L},k} < \hat{\tau}_{\ell,k}. \end{cases} \quad (9)$$

onde  $D$  representa o número de correlacionadores do receptor para cada usuário, também chamado de diversidade Rake. Os parâmetros a serem estimados para todos os usuários em um sistema real incluem: coeficiente de canal,  $\hat{\alpha}$ , potência,  $\hat{P}$ , atrasos,  $\hat{\tau}$ , (e portanto correlações,  $\widehat{\mathcal{R}}$ ), fase,  $\hat{\varphi}$ , e os bits obtidos no estágio de cancelamento anterior,  $\hat{b}(s-1)$ .

A estimativa para a MAI,  $\hat{I}_{\ell,k}^{(i)}(s)$ , obtidas no  $s$ -ésimo estágio de cancelamento pode ser escrita como (8) porém trocando  $L$  por  $D$  e os parâmetros do sistema por seus estimados  $\hat{\alpha}$ ,  $\hat{P}$ ,  $\hat{\tau}$ ,  $\widehat{\mathcal{R}}$ ,  $\hat{\varphi}$  e  $\hat{b}(s-1)$ .

A saída do  $s$ -ésimo estágio PIC, considerando o  $\ell$ -ésimo componente multipercorso do  $k$ -ésimo usuário para o  $i$ -ésimo bit é dado por:  $\hat{z}_{\ell,k}^{(i)}(s) = \hat{z}_{\ell,k}^{(i)}(0) - \widehat{SII}_{\ell,k}^{(i)}(s) - \hat{I}_{\ell,k}^{(i)}(s) = \sqrt{\frac{P_k}{2}} \alpha_{\ell,k}^{(i)} b_k^{(i)} + SII_{\ell,k}^{(i)} - \widehat{SII}_{\ell,k}^{(i)}(s) + I_{\ell,k}^{(i)} - \hat{I}_{\ell,k}^{(i)}(s) + n_{\ell,k}^{(i)}$ .

Finalmente, realiza-se a combinação de máxima relação (*Maximum Ratio Combined*, MRC) para os sinais dos  $D$  correlacionadores,  $\hat{y}_k^{(i)}(s) = \sum_{\ell=1}^D \text{Re} \left\{ \hat{z}_{\ell,k}^{(i)}(s) \hat{\alpha}_{\ell,k}^{(i)} \right\}$ , seguida da decisão abrupta,  $\hat{b}_k^{(i)}(s) = \text{sign} \left( \hat{y}_k^{(i)}(s) \right)$ .

## V. SIMULAÇÕES

Os conjuntos de seqüências utilizados posteriormente nas simulação Monte-Carlo foram escolhidos de forma a obter carregamentos equivalentes. Para o conjunto PN Ótima, foi adotado  $m = 3$ ,  $n = 2m$ ,  $n = 6$ . O polinômio primitivo utilizado para a construção do corpo  $GF(2^6)$  foi  $x^6 + x^5 +$

$x^2 + x + 1$ . No cálculo de desempenho, sorteiam-se quatro seqüências dentre as cinco disponíveis em cada iteração. No conjunto LCZ-GMW, adotou-se  $p = 2$ ,  $n = 6$ ,  $m = 3$  e os polinômios primitivos  $x^6 + x^5 + x^2 + x + 1$  e  $x^3 + x^2 + 1$  para a construção do corpo  $GF(2^6)$  e  $GF(2^3)$ , respectivamente. Para o conjunto ZCZ foi adotado  $m = 4$ ,  $n = 1$  e  $t = 1$ , resultando em um conjunto de 4 seqüências de comprimento  $N = 64$  e  $Z_{CZ} = 9$ . O conjunto de seqüências QS escolhido é derivado do conjunto *Gold*(203, 277). Deste conjunto de Gold, derivam-se 4 subconjuntos compostos de 8 seqüências QS de comprimento  $N = 127$  com propriedade *QOQS*(5). Arbitrariamente escolheu-se o subconjunto  $Q_1$  [7]. Para o WH foi adotado  $N = 64$  sendo que no cálculo de desempenho através de simulação sorteiam-se 4 seqüências dentre as disponíveis em cada iteração.

A tabela I sintetiza os principais parâmetros dos conjuntos de seqüências previamente escolhidos: o ganho de processamento  $N$ , o número de usuários ativos  $U$  no sistema, os valores máximos de  $R_{i,j}(\tau)$  e  $\hat{R}_{i,j}(\tau)$  com  $0 \leq \tau < N$ , o intervalo em que a ECC é mantida mínima e o máximo erro de sincronismo,  $\tau_{\max}$ , sem ocorrer problemas de sincronismo.

A tabela II mostra o perfil atraso-potência adotado para análise de desempenho em canal com desvanecimento Rayleigh multipercorso. Este perfil, para ambiente urbano típico, foi baseado no estudo COST207 [17] e possui um número reduzido de componentes multipercorso, visando amenizar a complexidade e tempo de processamento computacional das simulações. Nas simulações foi considerado controle perfeito

TABELA II  
PERFIL ATRASO-POTÊNCIA BASEADO NO MODELO COST207.

$\ell$	Atraso ( $\Delta_\ell$ )	$\bar{\gamma}_\ell = \frac{E_b}{N_0} E[\alpha_\ell^2]$
3	$0T_c = 0s$	0,189
1	$1T_c = 0,260\mu s$	0,379
2	$2T_c = 0,520\mu s$	0,239
4	$6T_c = 1,562\mu s$	0,095
5	$9T_c = 2,343\mu s$	0,061
6	$19T_c = 4,947\mu s$	0,037

de potência ( $P_1 = P_2 = \dots = P_U$ ). Os parâmetros fase, amplitude, atraso e coeficiente de canal para todos os sinais que chegam ao receptor foram assumidos conhecidos exatamente. Considerou-se freqüência da portadora  $f_c = 2GHz$ , velocidade do móvel  $v = 110km/h$  e diversidade Rake  $D = 4$ , pois com 4 fingers é possível capturar mais de 90% da energia total do sinal recebido.

A figura 1 apresenta os resultados de desempenho  $\overline{BER} \times \frac{E_b}{N_0}$  obtidos por simulação Monte-Carlo. Para as seqüências de comprimento  $N = 63$  e  $N = 64$ , considerou-se  $\tau_{\max} = 2T_c$  e, para a seqüência de comprimento  $N = 127$ , considerou-se  $\tau_{\max} = 4T_c$ , resultando em atrasos máximos relativos praticamente iguais para todas as simulações. O atraso máximo relativo é definido em função do comprimento das seqüências:  $\tau_{\max \%} = \frac{\tau_{\max}}{N} \times 100 [\%]$ , e permite comparar o efeito do assincronismo de sistemas com seqüências de espalhamento de comprimento  $N$  distintos.

Para efeito de comparação, foi incluído nos gráficos de resultados o desempenho analítico considerando um único usuário no sistema e receptor Rake MRC com diversidade

TABELA I  
CARACTERÍSTICAS DOS CONJUNTOS DE SEQÜÊNCIAS DE ESPALHAMENTO ANALISADOS.

Conjunto	$N$	$U$	$Load \simeq$	$\max  R_{i,j}(\tau) $	$\max  \tilde{R}_{i,j}(\tau) $	$\tau / \tau_{\min}  R_{i,j}(\tau) $	$\tau_{\max} [T_c]$
WH	64	4	0,0625	64	32	0	< 1
Seqüência QS	127	8	0,063	17	45	$\tau \in [0, 2]$	< 127
PN Ótima	63	4	0,063	33	33	$\tau \in [1, 8]$	< 63
LCZ-GMW	63	4	0,063	33	29	$\tau \in [0, 8]$	< 63
ZCZ	64	4	0,0625	32	32	$\tau \in [0, 8]$	< 64

$D$  (*single user bound, SUB*), dado por [18]  $BER_{SUB} = \frac{1}{2} \sum_{\ell}^D \left\{ \left[ 1 - \sqrt{\frac{\bar{\gamma}_{\ell}}{\bar{\gamma}_{\ell} + 1}} \right] \prod_{i, i \neq \ell}^D \frac{\bar{\gamma}_i}{\bar{\gamma}_{\ell} + \bar{\gamma}_i} \right\}$ .

Tanto em ambiente AWGN quanto com desvanecimento multipercorso, os sistemas QS-CDMA com detecção multiusuário PIC-HD apresentam considerável melhoria de desempenho em relação à detecção convencional (filtro casado simples e conjunto de filtros casados seguido de combinador MRC, respectivamente).

Nos sistemas QS-CDMA com detector Rake MRC aqui analisados, o melhor desempenho é obtido com o conjunto ZCZ, seguido pelos desempenhos obtidos com o conjunto LCZ-GMW e com o conjunto de seqüências QS. Já com o conjunto PN Ótima, o desempenho do Rake é insatisfatório e próximo ao desempenho obtido com o conjunto WH.

O melhor desempenho do detector PIC-HD é obtido com o conjunto ZCZ, seguido pelo desempenho obtido com o conjunto LCZ-GMW. Observe-se ainda os desempenhos semelhantes para o PIC-HD obtidos com os conjuntos PN Ótima e de seqüências QS. Isto indica que o incremento na complexidade do algoritmo de detecção do MuD PIC-HD, operando em canal com desvanecimento multipercorso, reduz ou mesmo elimina pequenas diferenças de desempenho observadas com o Rake MRC associado a esses dois conjuntos de seqüências. Finalmente, verifica-se que mesmo com a utilização do detector PIC-HD o desempenho obtido com o conjunto WH é insatisfatório.

Devido ao baixo carregamento utilizado nas simulações, limitado pelo conjunto LCZ-GMW, seção III, um único estágio PIC-HD é suficiente para a obtenção de uma significativa melhoria de desempenho em relação ao receptor Rake MRC. Nas simulações realizadas, não foi observada uma significativa melhoria de desempenho do sistema com mais de 1 estágio PIC-HD.

A figura 2 apresenta o desempenho médio em função do nível de assincronismo dos usuários em um receptor Rake MRC considerando os cinco conjuntos de seqüências com carregamentos similares, tabela I. O conjunto ZCZ resultou em melhor desempenho relativo. Praticamente para todo intervalo de atrasos analisado, o desempenho médio manteve-se muito próximo ao desempenho  $SUB(D = 4)$ , indicando uma relativa robustez do sistema contra erros de sincronismo (pelo menos 16%), mesmo em canal com grande número de multipercursos.

Degradações progressivas no desempenho do receptor Rake MRC são atingidas com a utilização dos conjuntos LCZ-GMW e QS, tanto em relação ao conjunto ZCZ quanto com o aumento do erro de sincronismo. O conjunto WH resulta no pior desempenho relativo, mantendo-se praticamente constante

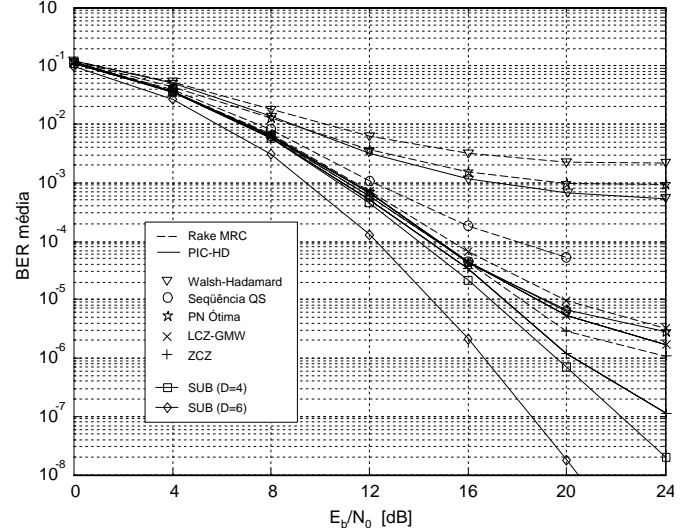


Fig. 1. Desempenho  $\overline{BER} \times \frac{E_b}{N_0}$  do receptor Rake MRC e receptor Rake associado ao MuD PIC-HD com 1 estágio e diversas seqüências de espalhamento.

com o aumento do erro de sincronismo.

Ao contrário do comportamento dos demais conjuntos, o PN Ótima apresenta melhoria de desempenho médio com o aumento do  $\tau_{\max} \%$ , tendendo ao desempenho obtido com o conjunto QS. Isto é explicado através da característica não ótima para a correlação cruzada do conjunto PN Ótima em torno da origem ( $|\tau| < 1$ ) [8].

Ao contrário do observado em canal AWGN, a figura 2 indica um desempenho médio não ótimo para o receptor Rake MRC com o conjunto WH na condição de perfeito sincronismo,  $\tau_{\max} \% = 0$ , pois a característica do canal multipercorso impossibilita a manutenção da ortogonalidade entre os sinais recebidos. Problema similar ocorre com a utilização do conjunto de seqüências QS. Por exemplo, a boa característica de ECC mínima, quando  $|\tau| \leq 2T_c$ , para o conjunto com propriedade  $QOQS(5)$ , utilizado nas simulações, são evidenciadas nos resultados de desempenho em canal AWGN [13]. No entanto, nos resultados em canal com desvanecimento multipercorso, esta boa característica é insuficiente devido aos diversos componentes multipercorso com atrasos elevados.

Finalmente, a figura 3 apresenta os resultados de desempenho do receptor PIC-HD com 1 estágio de cancelamento em função do erro de sincronismo percentual para os cinco conjuntos de seqüências. Verifica-se que, para a mesma diversidade Rake,  $D = 4$ , as diferenças de desempenhos com IC são minimizadas e, adicionalmente, as respectivas  $\overline{BER}$  resultam

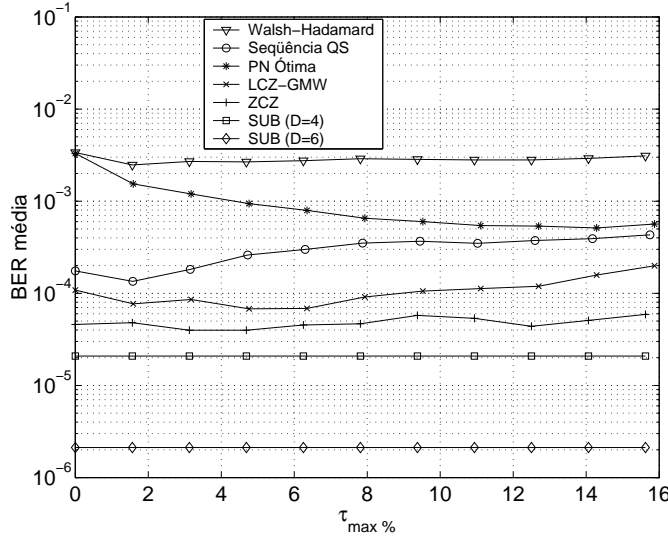


Fig. 2. Desempenho  $\overline{BER} \times \tau_{máx\%}$  para o receptor Rake MRC;  $\frac{E_b}{N_0} = 16dB$  e diversos conjuntos de seqüências de espalhamento.

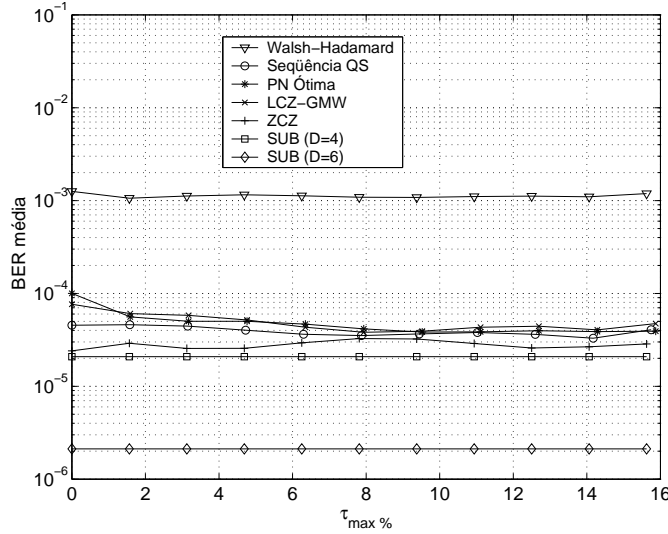


Fig. 3. Desempenho  $\overline{BER} \times \tau_{máx\%}$  para o receptor MuD PIC-HD com 1 estágio;  $\frac{E_b}{N_0} = 16dB$  e diversos conjuntos de seqüências de espalhamento.

mais próximas do limite SUB com diversidade  $D = 4$ . Note-se que mesmo com o aumento de  $\tau_{máx\%}$ , não houve degradação do desempenho.

## VI. CONCLUSÕES

Foram analisadas e comparadas as principais características de cinco conjuntos de seqüências de espalhamento aplicáveis a sistemas QS-CDMA propostos recentemente na literatura. As principais propriedades de correlação destes conjuntos foram investigadas na condição de quase sincronismo. O desempenho do sistema QS-CDMA com detecção convencional e multiusuário em canal com desvanecimento multipercorso, obtido via simulação Monte-Carlo, foi utilizado para a comparação dos conjuntos. Tanto com detecção convencional como com detecção MuD, observou-se um relativo ganho de desempenho com a utilização de seqüências do conjunto ZCZ.

Com a escolha adequada do conjunto de seqüências para sistemas QS-CDMA, um único estágio PIC-HD é suficiente para uma significativa melhoria de desempenho em relação ao obtido com o receptor Rake MRC. Tal ganho de desempenho, acompanhado de um pequeno incremento na complexidade do receptor, viabiliza a implementação do MuD substrutivo do tipo PIC-HD.

## REFERÊNCIAS

- [1] Mahesh K. Varanasi and Behnaam Aazhang. Multistage detection in asynchronous code-division multiple-access communications. *IEEE Transactions on Communications*, 38(4):509–519, April 1990.
- [2] Taufik Abrão. *Canceladores de Interferência Multiusuário Aplicados a Sistemas DS/CDMA de Múltipla Taxa*. PhD thesis, Escola Politécnica da Universidade de São Paulo, Março 2001.
- [3] Jianfeng Weng, Guoqiang Xue, Tho Le-Ngoc, and Sofiene Tahar. Multi-stage interference cancellation with diversity reception for asynchronous QPSK DS/CDMA systems over multipath channels. *IEEE Journal on Selected Areas in Communications*, 17(12):2162–2180, December 1999.
- [4] So Ryoung Park, Ickho Song, Seokho Yoon, and Yun Hee Kim. New polyphase sequences with good even and odd crosscorrelation properties. *Proc. 19th IEEE Military Communications Conference*, pages 17.5.1–17.5.5, October 2000.
- [5] M. B. Pursley. Performance evaluation for phase coded spread spectrum multiple-access communication - part i: System analysis. *IEEE Transaction on Communications*, 25:795–599, 1977.
- [6] Seiji Kuno, Takaya T. Yamazato, Massaki Katayama, and Akira Ogawa. A study on quasiynchronous CDMA based on selected PN signature sequences. *Proceedings IEEE International Symposium of Spread Spectrum Techniques and Applications*, pages 479 – 483, September 1994.
- [7] Masato Saito, Takaya Yamazato, Hiraku Okada, Masaaki Katayama, and Akira Ogawa. Generation of sets of sequences suitable for multicode transmission in quasi-synchronous CDMA systems. *IEICE Transactions on Communication*, E84-B(3):576–580, March 2001.
- [8] Xu Duan Lin and Kyung Hi Chang. Optimal PN sequence design for quasiynchronous CDMA communication systems. *IEEE Transactions on Communications*, 45(2):221–226, February 1997.
- [9] Biqi Long, Ping Zhang, and Jiandong Hu. A generalized QS-CDMA system and the design of new spreading codes. *IEEE Transactions on Vehicular Technology*, 47(4):1268 – 1275, November 1998.
- [10] Xiaohu H. Tang and Pingzhi Z. Fan. A class of pseudonoise sequences over GF(P) with low correlation zone. *IEEE Transactions on Information Theory*, 47(4):1644–1649, May 2001.
- [11] P. Z. Fan, N. Suehiro N. Kuroyanagi, and X. M. Deng. Class of binary sequences with zero correlation zone. *Electronics Letters*, 35(10):777–779, May 1999.
- [12] Xinmin Deng and Pingzhi Fan. Spreading sequence set with zero correlation zone. *Electronics Letters*, 36(11):993–994, May 2000.
- [13] André S. R. Kuramoto, Taufik Abrão, and Paul Jean E. Jeszensky. A compared framework on spreading sequences for QS-CDMA systems. *submetido ao IEICE Transactions on Communications*.
- [14] R. A. Scholtz and Lloyd R. Welch. GMW sequences. *IEEE Transaction on Information Theory*, IT-30(3):548–553, 1984.
- [15] Marvin K. Simon, Jim K. Omura, Robert A. Scholtz, and Barry K. Levitt. *Spread Spectrum Communications Handbook*. McGraw-Hill, revised edition edition, 1994.
- [16] X. H. Tang, P. Z. Fan, and S. Matsufuji. Lower bounds on correlation of spreading sequences set with low or zero correlation zone. *Electronics Letters*, 36(6):551–552, March 2000.
- [17] Gordon L. Stuber. *Principles of Mobile Communication*, Second Edition. Kluwer Academic Publisher, Norwell, Massachusetts, second edition, 2001.
- [18] John G. Proakis. *Digital Communications*. Electrical and Computer Engineering. Communications and Signal Processing. McGraw-Hill, third edition, 1995.